

## بررسی کمپلکس‌های $dTDP^{3-}$ با فلزات دو ظرفیتی و تعیین ثابت‌های اسیدی و پایداری آن‌ها

سیدعلی اکبر سجادی: دانشگاه صنعتی شریف

### چکیده

ثابت‌های پایداری کمپلکس‌های ۱ : ۱ ایجاد شده میان  $M^{2+}$ :  $Cu^{2+}$ ,  $Mn^{2+}$ ,  $Zn^{2+}$ ,  $Ba^{2+}$ ,  $Sr^{2+}$ ,  $Ca^{2+}$ ,  $Mg^{2+}$  با  $dTDP^{3-}$  (دی‌فسفات) با تیتراسیون pH پتانسیومتری در محلول آبی ( $I=0.1M$ )،  $Ni^{2+}$ ,  $Co^{2+}$  و  $Cd^{2+}$  با تیمیدین-۵'-دی‌فسفات ( $dTDP^{3-}$ ) با تیتراسیون pH پتانسیومتری در محلول آبی ( $I=0.1M$ )، تعیین شد. همین ثابت‌ها با دیگر مشتقات دی‌فسفات ( $R-DP^{3-}$ ) مقایسه شد. ثابت‌های اسیدی  $dTDP^{3-}$  یعنی  $K_{H_2(dTDP)}^H$  و  $K_{H(dTDP)}^H$  و  $K_{(dTDP)}^H$  با تیتراسیون pH پتانسیومتری اندازه‌گیری شد و با ثابت‌های مربوط مقایسه‌هایی انجام شد. نمودار نتایج  $\log K_{M(R-DP)}^M$  و  $pK_{H(R-DP)}^H$  برای ترکیبات دی‌فسفات رسم شد و خط همبستگی<sup>۱</sup> از این نقاط محاسبه شدند، این نتایج نشان می‌دهند که کمپلکس‌های  $M(dTDP)^-$  دقیقاً روی خط قرار گرفته‌اند؛ یعنی فلزات دو ظرفیتی فقط به گروه فسفات متصل شده‌اند و هیچ‌گونه برهم‌کنشی میان یون فلزی و قند یا باز نوکلئوزید وجود ندارد. معادله خط همبستگی بدست آمده از رابطه مطرح شده به ما اجازه می‌دهد که با مقدار  $pK_a$  هر لیگند دی‌فسفات منواستر تک پروتونه، ثابت‌های پایداری را محاسبه کنیم.

### مقدمه

نوکلئوتیدها در بسیاری از واکنش‌های بیولوژیکی شرکت می‌کنند [۱]، [۲]. که عمده این واکنش‌ها با همکاری فلزات یونی صورت می‌گیرد [۳]. بدین جهت ثابت‌های اسیدی و پایداری زیادی و همچنین ثابت‌های ترمودینامیکی برای این نوع کمپلکس‌ها اندازه‌گیری و یا محاسبه شده‌اند [۴] و این اطلاعات در بررسی ساختار حالات جامد کمک زیادی می‌کنند [۵]، [۶]. در نوکلئوزید-۵'-تری‌فسفات، گروه فسفات در فاصله دورتری نسبت به نوکلئوباز قرار دارند. این قابل فهم است که در اکثر کمپلکس‌های نوکلئوزید-۵'-تری‌فسفات بررسی شده ثابت اسیدی در محدوده  $pK_a = 6.5 \pm 0.5$  قرار دارند.

براین اساس، ثابت‌های پایداری این کمپلکس‌ها قابل فهم است؛ به طوری که چنانچه فلزات علاوه بر پیوند با گروه فسفات بتوانند با گروه نوکلئوباز نیز پیوند حاصل و یک ماکروکیلیت ایجاد نمایند. یعنی یون فلزی از طرفی با

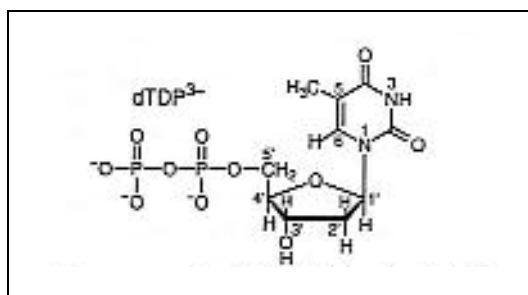
کلمات کلیدی: نوکلئوتیدها، دی‌فسفات منواسترها، ثابت‌های اسیدی، ثابت‌های پایداری.

۱. Correlation line

پذیرش ۸۶/۹/۱۱

دریافت ۸۵/۰۷/۱۰

گروه فسفات و از طرف دیگر با یک نیتروژن (عموماً N7) از حلقه باز پورین پیوند حاصل می‌کند. برای دسته نوکلئوزید-5' دی فسفات‌ها خط همبستگی به دست آمده و معادلات خطی جهت مقایسه وجود دارد. برای تعدادی از ترکیبات دی فسفات نیز این خط تهیه شده و معادله خطی آن برای فلزات مختلف به دست آمده است [7]. یک گروه فسفات که به ناحیه انتهای  $\beta$  به یک نوکلئوزید متصل است در بسیاری موارد نیز مانند مشتقات ساده دی فسفات عمل می‌کند [8]. مهم این است که در صورتی که نوکلئوباز با یون فلزی برهمکنش نشان ندهد، ثابت‌های پایداری به دست آمده در محدوده دی فسفات‌های ساده قرار می‌گیرد. تیمیدین-5'-دی فسفات  $dTDP^{3-}$  در شکل 1 نشان داده شده است.



شکل 1. ساختار شیمیایی تیمیدین -5'-دی فسفات در حالت غالب

## آزمایش‌ها

### مواد و تجهیزات موردنیاز

1. نمک سدیم dTDP از شرکت Sigma Chemical Co. ، Mo, USA ، St.Louis تهیه شد. میزان فسفات معدنی موجود این ترکیب اندازمگیری و معادل 1/70% تعیین شد.
  2. Na<sub>2</sub>H<sub>2</sub>EDTA N,N,N',N'-tetra acetic 1,2-diaminoethane، از شرکت Darmstadt, Merck AG آلمان.
  3. C<sub>8</sub>H<sub>5</sub>O<sub>4</sub>K پتاسیم هیدروژن فتالات، از شرکت Darmstadt, Merck AG آلمان.
  4. HNO<sub>3</sub>، از شرکت Darmstadt, Merck AG آلمان.
  5. NaOH (تیترازول)، از شرکت Darmstadt, Merck AG آلمان.
  6. نمک‌های نیترات Na<sup>+</sup>, Mg<sup>2+</sup>, Co<sup>2+</sup>, Sr<sup>2+</sup>, Ba<sup>2+</sup>, Mn<sup>2+</sup>, Ca<sup>2+</sup>, Ni<sup>2+</sup>, Cu<sup>2+</sup>, Zn<sup>2+</sup>, Cd<sup>2+</sup> (همگی برای آنالیز) از شرکت Darmstadt, Merck AC آلمان که البته غلظت یون فلزی با EDTA دقیقاً تعیین شده است.
- همه محلول‌ها با آب دیونیزه شده France, Millipore, Ultrapure و بدون CO<sub>2</sub> ساخته شدند.

غلظت محلول‌های NaOH مصرفی آزمایش‌ها با پتاسیم هیدروژن فتالات به طور دقیق اندازه‌گیری شد. تیتراسیون‌های pH پتاسیومتری: این آزمایش‌ها با دستگاه Potentiograph، Metrohm E53، dosimat و E655 و الکتروود (NB) 6.0203.100 و 6.0202.100 همراه با محلول‌های بافر pH ۴،۷،۹ مطابق NBS انجام شد. اعداد pH خوانده شده از دستگاه مستقیماً برای محاسبات مورد استفاده قرار گرفتند این ثابت‌ها همان ثابت‌های عملی یا Bronsted هستند.

### تعیین ثابت‌های اسیدی

ثابت‌های اسیدی  $H_2(dTDP)^-$  یعنی  $K_{H_2(dTDP)}^H$  و  $K_{H(dTDP)}^H$  و  $K_{(dTDP)}^H$  با تیتراسیون ۵۰ ml محلول آبی  $HNO_3$  ۰/۵۴ mM ( $I=0.1$  M,  $NaNO_3$ ,  $25^\circ C$ ) در حضور و عدم لیگند (۰/۳ mM) تحت گاز  $N_2$  با محلول NaOH ۰/۰۳ M تعیین شد. محاسبات با کامپیوتر IBM با برنامه محاسبه بر اساس Newton-Gauss انجام شد. برای  $H(dTDP)^{2-}$  محدوده pH ۴/۷-۱۰/۴ انتخاب شد که معادل ۲٪ خنثی‌سازی معادله  $H(dTDP)^{2-}$  و حدود ۷۵٪  $dTDP^{3-}/(dTDP-H)^{4-}$  خنثی‌سازی معادله است. به دلیل پایین بودن میزان فسفات معدنی، در محاسبات وارد نشد. نتایج نهایی بر اساس اعداد به دست آمده از تیتراسیون حداقل ۲۰ جفت منحنی pH مستقل بود.

### تعیین ثابت پایداری

ثابت‌های پایداری  $K_{M(dTDP)}^M$  و  $K_{M(H;dTDP)}^M$  به‌طوری‌که  $M^{2+}: Zn^{2+}, Mn^{2+}, Ba^{2+}, Sr^{2+}, Ca^{2+}, Mg^{2+}$  شرایط همانند پیش بود یعنی ۵۰ ml محلول آبی  $HNO_3$  ۰/۵۴ mM در حضور و عدم حضور لیگند (۰/۳ mM) و تحت  $N_2$  با ۱ میلی‌لیتر ۰/۰۳ M NaOH تیتراژ شد. اما  $NaNO_3$  تا حدی با  $M(NO_3)_2$  جای‌گزین شد و ( $I=0.1$  M و  $NaNO_3$  و  $25^\circ C$ ) نسبت  $M^{2+}/L$  به صورت‌های ۱:۱ و ۱:۲ برای تمام سیستم‌ها اعمال شد. در مورد  $Ba^{2+}$  و  $Sr^{2+}$  ثابت‌های پایداری کوچک بودند و نسبت‌های  $M^{2+}/L$  ۵:۱ و ۱۰:۱ و ۱۵:۱ نیز اعمال شد که نتایج یکسانی را مانند ۱:۱ به دست دادند. این نشان‌گر این مطلب بود که نسبت  $M^{2+}/L$  نقش مهمی در تشکیل کمپلکس ایفا نمی‌کند.

برای محاسبه ثابت‌های پایداری از جفت منحنی‌های تیتراسیون، یعنی منحنی بدون لیگند و با لیگند استفاده شد و با برنامه‌ای کامپیوتری Curve-fitting با استفاده از ثابت‌های  $H^+$  و  $H_2(dTDP)^-$ ،  $H(dTDP)^{2-}$ ،  $dTDP^{3-}$ ،  $M(dTDP)^-$  و  $M(H;dTDP)$ ،  $M^{2+}$  محاسبات صورت گرفت. اعداد به فاصله هر ۰/۱ واحد pH از پائین‌ترین pH تا بالاترین pH جمع‌آوری شد و در جمع‌آوری این اعداد بسیار دقت شد که به محض مشاهده هیدرولیز  $M(aq)^+$  اعداد حذف شوند که در این زمینه واکنش مذکور در منحنی فلز بدون لیگند (یعنی با شروع تشکیل

کمپلکس‌های  $M(dTDP-H)^{2-}$  قابل تشخیص بود. درجه تشکیل برای  $M(H;dTDP)$  عموماً  $\leq 5\%$  بر اساس میزان کل لیگند و محدوده خطای محاسبه شده برای  $\log K_{M(H;dTDP)}^M \pm 0.3$  واحد log بود.

## نتایج و بحث

تمامی تیتراسیون‌های pH پتانسیومتری ( $NaNO_3, I = 0.1M, 25^\circ C$ ) که در ادامه نتایج جمع‌آوری شدند با غلظت  $[L] = 0.3 \text{ mM}$  بود، به طوری که پدیده خودتجمعی<sup>۱</sup> حذف شد؛ یعنی لیگندها به صورت منومر در محلول قرار داشتند.

### ثابت‌های اسیدی لیگند پروتونه شده

لیگند  $H_2(dTDP)^-$  که حاوی دو پروتون بر روی گروه فسفات است قادر است که مطابق واکنش‌های زیر این پروتون‌ها را از دست بدهد.



$$K_{H_2(dTDP)}^H = [H(dTDP)^{2-}][H^+]/[H_2(dTDP)^-] \quad (1b)$$



$$K_{H(dTDP)}^H = [dTDP^{3-}][H^+]/[H(dTDP)^{2-}] \quad (2b)$$

همان‌طوری که گفته شد این دو پروتون بر روی گروه فسفات قرار گرفته‌اند: یکی بر روی گروه  $\alpha$  و دیگری بر روی گروه  $\beta$  فسفات.

علاوه بر این لیگند  $dTDP^{3-}$  قادر است که در یک واکنش بعدی که در محدوده بالای pH قرار دارد یک پروتون دیگر را از گروه حلقه بازی خود جدا کند. این پروتون از نیتروژن  $N(3)$  جدا می‌شود که می‌توان این واکنش را به صورت زیر خلاصه کرد.



$$K_{dTDP}^H = [(dTDP-H)^{4-}][H^+]/[dTDP^{3-}] \quad (3b)$$

ثابت‌های اسیدی اندازه‌گیری شده در جدول ۱ آورده شده است.

### مقایسه ویژگی‌های اسید- بازی چند لیگند

اثر دیپروتونه شدن  $(H)N3$  در باز تیمیدین در ترکیبات مشابه شناخته شده است.

$$\rho K_{atad}^H = 9.69[9] < \rho K_{atmp}^H = 9.90 \pm 0.03 \sim$$

$$\rho K_{atdp}^H = 9.93 \pm 0.02(\text{table.1}) \simeq \rho K_{attp}^H = 9.89 \pm 0.03[10]$$

بار روی گروه فسفات در ۰، -۲، -۳ تا -۴ متغیر است.

جدول ۱. منفی لگاریتم ثابت‌های اسیدی قسمت‌های مختلف  $dTDP^{3-}$  و تعداد دیگری از نوکلئوتیدها و ترکیبات دی‌فسفات منواستر، اندازه‌گیری شده با تیتراسیون‌های pH پتانسیومتری ( $I=0.1 M$  و  $NaNO_3$  و  $25^\circ C$ ) در محلول‌های آبی

pK <sub>a</sub>				اسید
(N3)H	-P(O) <sub>2</sub> <sup>-</sup> -O-P(O) <sub>2</sub> (OH) <sup>-</sup>	(N3)H <sup>+</sup>	-P <sub>2</sub> (O) <sub>4</sub> (OH) <sub>2</sub> <sup>-</sup>	
	6.32±0.02		1.32±0.18	H <sub>2</sub> (PhDP) <sup>-</sup>
	6.37±0.09		1.62±0.09	H <sub>2</sub> (MeDP) <sup>-</sup>
9.47±0.02	6.38±0.02		1.26±0.20	H <sub>2</sub> (UDP) <sup>-</sup>
	6.39±0.02	4.45±0.02	1.0±0.2	H <sub>3</sub> (CDP) <sup>±</sup>
9.93±0.02	6.44±0.01		1.3	H <sub>2</sub> (dTDP) <sup>-</sup>
	6.65±0.16		1.34±0.16	H <sub>2</sub> (BuDP) <sup>-</sup>

### ثابت‌های پایداری $M^{2+}$ در کمپلکس‌های dTDP

اعداد تجربی تیتراسیون‌های pH پتانسیومتری دو سیستم  $M^{2+}/dTDP$  به‌طوری که  $Mn^{2+}$ ،  $Mg^{2+}$ ،  $M^{2+}$  که  $Ca^{2+}$ ،  $Sr^{2+}$ ،  $Ba^{2+}$ ،  $Zn^{2+}$ ،  $Co^{2+}$ ،  $Ni^{2+}$ ،  $Cu^{2+}$  و  $Cd^{2+}$  است. با واکنش‌های ۲، ۳، ۴ و ۵ تعریف می‌شود.



$$K_{M(H;dTDP)}^M = [M(H;dTDP)] / ([M^{2+}][H(dTDP)^{2-}]) \quad (4b)$$



$$K_{M(dTDP)}^M = [M(dTDP)^-] / ([M^{2+}][dTDP^{3-}]) \quad (5b)$$

ثابت اسیدی نهایی مطابق این واکنش‌ها تعریف می‌شود.

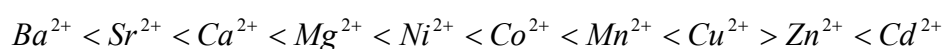


$$K_{M(H;dTDP)}^H = [M(dTDP)^-][H^+] / [M(H;dTDP)] \quad (6b)$$

$$\rho K_{M(H;dTDP)}^H = \rho K_{M(dTDP)}^H + \log K_{M(H;dTDP)}^M - \log K_{M(dTDP)}^M \quad (7)$$

نتایج واکنش‌های ۴، ۵ و ۶ برای کمپلکس‌های dTDP و  $M^{2+}$  در جدول ۲ آورده شده است.

ثابت‌های پایداری در جدول ۲ روند عمومی را نشان می‌دهد. پایداری کمپلکس‌ها با یون‌های قلیایی خاکی با افزایش شعاع یونی کاهش می‌یابد. برای یون‌های فلزی دوظرفیتی 3d پایداری کمپلکس‌های یون فلزی - فسفات اغلب سری Irving-williams را دنبال نمی‌کنند. روند ثابت‌های پایداری همه لیگندهای دی‌فسفات در جدول ۲ نشان داده شده است که به این صورت خلاصه می‌شود:



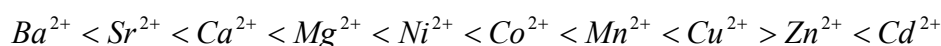
سوال این است که رابطه ثابت پایداری و ثابت اسیدی گروه دی‌فسفات به چه شکل است؟ به عبارت دیگر آیا رابطه خطی میان  $\log K_{M(R-DP)}^M$  و  $\rho K_{H(R-DP)}^H$  وجود دارد. جواب مثبت است و این مطلب در شکل ۲ نشان داده شده است.

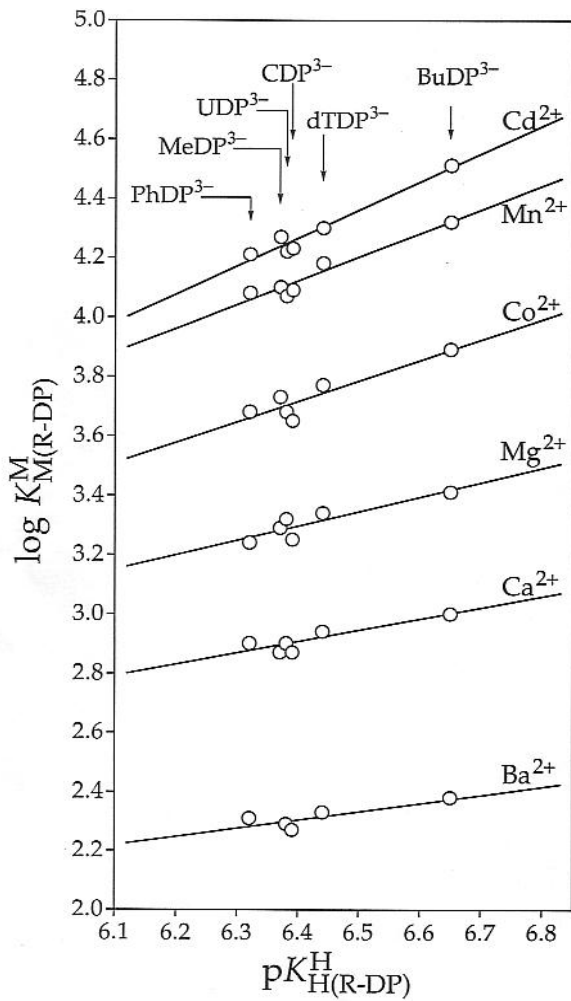
جدول ۲: لگاریتم ثابت‌های پایداری کمپلکس‌های  $M(dTDP)^-$  معادله (5) برای  $dTDP^{3-}$  اندازه‌گیری شده با تیتراسیون‌های pH پتانسیومتری ( $I=0.1 M$  و  $NaNO_3$  و  $25^\circ C$ ) در محلول‌های آبی.

$\log K_{M(dTDP)}^M$			
$M^{2+}$	$dTDP^{3-}$	$M^{2+}$	$dTDP^{3-}$
$Mg^{2+}$	$3.34 \pm 0.06$	$Co^{2+}$	$3.77 \pm 0.04$
$Ca^{2+}$	$2.94 \pm 0.04$	$Ni^{2+}$	$3.57 \pm 0.05$
$Sr^{2+}$	$2.40 \pm 0.05$	$Cu^{2+}$	$5.34 \pm 0.05$
$Ba^{2+}$	$2.33 \pm 0.03$	$Zn^{2+}$	$4.15 \pm 0.04$
$Mn^{2+}$	$4.18 \pm 0.03$	$Cd^{2+}$	$4.30 \pm 0.03$

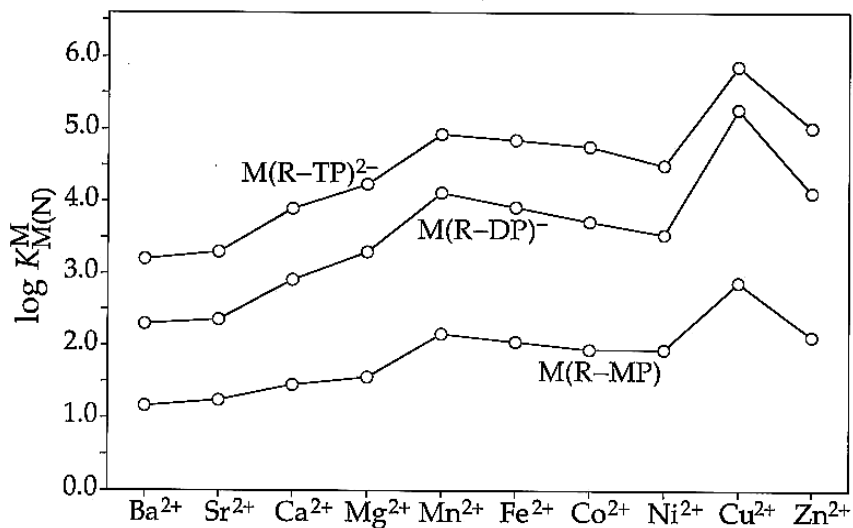
همان‌طوری که مشاهده می‌شود ثابت پایداری به دست آمده برای کمپلکس‌های  $M(dTDP)^-$  بر روی خط قرار دارد. این بدین معنی است که یون فلزی فقط از طریق گروه فسفات متصل است و هیچ‌گونه برهم‌کنش جانبی دیگری ندارد؛ زیرا هرگونه برهم‌کنش اضافی منجر به افزایش ثابت پایداری شده و به دنبال آن باید نقاط مربوط به کمپلکس‌های  $M(dTDP)^-$  بالای خط قرار بگیرند که این مطلب مشاهده نمی‌شود.

همان‌طوری که می‌بینیم نوکلئوتید  $dTDP^{3-}$  همانند ترکیبات دی‌فسفات منواسترهای ساده عمل می‌کند و قسمت نوکلئوباز آن‌ها هیچ تأثیری بر روی ساخت کمپلکس با فلزات دوظرفیتی مطرح شده ندارد. معادلات خطی روابط  $\log K$ ، ترکیب  $dTDP$  و کمپلکس‌های آن‌ها در شکل ۲ دیده می‌شود. بنا بر این می‌توان با داشتن ثابت اسیدی هر مشتقی از ترکیبات دی‌فسفات منواستر به صورت نسبتاً دقیق به ثابت پایداری کمپلکس با یون فلز مورد نظر دست یافت. با این شرط که قسمت R در R-DP هیچ‌گونه اثری در تشکیل کمپلکس نداشته باشد. مثلاً هیچ‌گونه ماکروکیلیتی تشکیل نشود. برای مقایسه با روند و مقدار ثابت‌های پایداری  $dTDP$  با دیگر مشتقات آن به صورت منو- و تری فسفات می‌توان از شکل ۳ استفاده نمود. در محور افقی یون فلزات دوظرفیتی و محور عمودی ثابت‌های پایداری آن‌ها آورده شد. همان‌طور که مشاهده می‌شود روند افزایش به شکل آتی است و در مورد هر سه ترکیب منو-، دی- و تری یکسان است.





شکل ۲. رابطه خطی  $\log K_{M(R-DP)}^M$  و  $\rho K_{H(R-DP)}^H$  برای چند فلز دو ظرفیتی برای کمپلکس‌های ۱:۱ تعدادی از ترکیبات دی‌فسفات و ترکیب  $dTDP^{3-}$ . تمام اعداد نشان داده شده توسط تیتراسیون‌های pH پتانسیومتری در محیط آبی بدست آمده است ( $I=0.1 M$  و  $NaNO_3$  و  $25^\circ C$ ).



شکل ۳. سری Irving-williams نشان داده شده برای کمپلکس‌های ساخته شده با فلزات دو ظرفیتی و ترکیبات منو-  $(R-MP)^{2-}$ ، دی-  $(R-DP)^{3-}$ ، و تری فسفات  $(R-TP)^{4-}$ ، تیمیدین (R). این اعداد نشانگر ثابت‌های پایداری این کمپلکس‌ها می‌باشند.

## منابع

1. H. Sigel; *Met. Ions in Biol. Syst.* **32**, (1996) 1-814.
2. S. Lippard, J. Berg, J. Lewis; *Principle of Bioinorganic Chemistry*, Mill Valley, (1994).
3. A.S. mildvan; *Magnesium.* **6**, (1987) 28-33.
4. R.M. Smith, A.E. Martell; *Pure Appl. Chem.* **63**, (1991) 1015-1080.
5. K. Aoki; *J. Am. Chem. Soc.*, (1989) 171-246.
6. K. Aoki; *Met. Ions in Biol. Syst.* **32**, (1996) 91-134.
7. Abstract JCBIC-7: S.A.A. Sajadi, M. Bastian, H. Sigel, *J. Inorg. Biochemistry* **59** (1995) 139.
8. S. A.A. Sajadi, B. Song, H. Sigel; in press.
9. H. Sigel; *Chem. Soc. Rev.* **22**, (1993) 255-267.
10. H. Sigel; *Met. J. Am. Chem. Soc.* **97**, (1995) 3209-3214.